

01;05.2;09;11

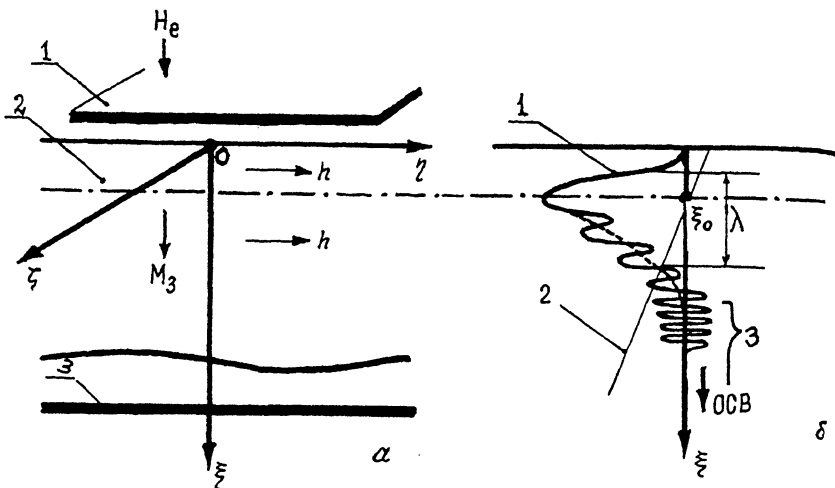
©1995

## МЕХАНИЗМ ЭФФЕКТИВНОГО ЭЛЕКТРОМАГНИТНОГО ВОЗБУЖДЕНИЯ ОБМЕННЫХ СПИНОВЫХ ВОЛН В НЕОДНОРОДНЫХ ФЕРРИТОВЫХ ПЛЕНКАХ

*Ю.В.Гуляев, П.И.Зильберман, А.Г.Темирязев*

В недавних экспериментах <sup>[1,2]</sup> с неоднородными пленками железоиттриевого граната (ЖИГ) было обнаружено эффективное электромагнитное возбуждение бегущих спиновых волн обменной природы. При малых длинах волн ( $\leq 0.2\mu\text{т}$ ) оцененная из экспериментов эффективность возбуждения была велика, порядка 30%. Механизм такого эффективного возбуждения до сих пор не был выяснен. В работе <sup>[3]</sup> был предложен механизм возбуждения за счет закрепления спинов на поверхности пленки. Оказалось, однако, что оцененная для этого механизма эффективность возбуждения на 3 порядка меньше экспериментального значения.

В данной работе предлагается объяснение экспериментов <sup>[1,2]</sup>, основанное на аналогии с работой Шлемана <sup>[4]</sup>. Как известно, в <sup>[4]</sup> описан механизм возбуждения обменных спиновых волн (ОСВ) в ферритовых образцах неэллипсоидальной формы неоднородным полем размагничивания. В интересующих нас работах <sup>[1,2]</sup> возбуждение ОСВ также происходит в неоднородной среде. При этом эффективное волновое число  $q$  волны меняется от точки к точке и в некоторых точках, называемых "точками поворота" <sup>[4-6]</sup>, может становиться малым ( $q \rightarrow 0$ ). Как было указано в <sup>[4,5]</sup>, в слое с малым  $q$  возникает нескомпенсированный дипольный момент, который и осуществляет связь с возбуждающим электромагнитным полем. Однако в самих работах <sup>[4,5]</sup> причина высокой эффективности возбуждения оставалась несколько в тени. В данной работе мы хотим обратить внимание на то, что вблизи точки поворота возникает слой, в котором внешнее электромагнитное поле резонансно раскачивает "квазиоднородную" прецессию намагниченности. При этом амплитуда колебаний может быть очень большой — она ограничена, по существу, только выносом энергии за счет излучения самих спиновых волн. Именно наличие большой амплитуды и позволяет объяснить экспериментально получаемые значения эффективности.



Рассчитываемая структура (а) и вид распределения переменной намагниченности по толщине ферритового слоя (б). а: 1 — металлическая полоска с СВЧ током, текущим по оси  $O\xi$ ; 2 — ферритовый слой; 3 — металлическое основание, образующее вместе с полоской 1 линию передачи СВЧ мощности.  $H_e$  — стороннее статическое магнитное поле;  $M_s$  — вектор намагниченности в насыщенном феррите;  $h$  — однородное по толщине пленки СВЧ магнитное поле, создаваемое током в полоске. б: 1 — вид переменной намагниченности в фиксированный момент времени, пунктирная линия — плавная (нераспространяющаяся) часть переменной намагниченности; 2 — вид зависимости квадрата локального волнового числа  $q^2(\xi)$  от координаты  $\xi$ :  $q^2(\xi) > 0$  при  $\xi > \xi_0$  и  $q^2(\xi) < 0$  при  $0 < \xi < \xi_0$ ,  $\xi_0$  — точка поворота; 3 — зона сформировавшегося излучения ОСВ.

Рассматриваемая структура изображена на рисунке, а. Пусть статическое эффективное поле  $H_0(\xi)$  меняется по толщине пленки, например за счет изменения поля анизотропии или намагниченности насыщения. Пусть закон изменения линейный, т. е.  $H_0(\xi) = H_0 + \xi |dH_0/d\xi|$ . Исходим из стандартного уравнения прецессии намагниченности Ландау и Лифшица с параметром релаксации  $\Delta H$  [6]. Вводим безразмерную координату

$$z = \frac{1}{\lambda} \left( -\xi + \frac{\gamma H_0 - \omega}{\gamma |dH_0/d\xi|} - j \frac{\Delta H}{|dH_0/d\xi|} \right), \quad (1)$$

где характерная длина  $\lambda = [\alpha 4\pi M_s / |dH_0/d\xi|]^{1/3}$ ,  $\alpha$  — константа неоднородного обмена (в ЖИГ  $\alpha = 2.6 \cdot 10^{-12} \text{ см}^2$ ),

$\omega$  — круговая частота возбуждающего поля  $h$  (см. рисунок, *a*),  $\gamma$  — гиромагнитное отношение. Тогда уравнение прецессии, записанное для безразмерной циркулярной компоненты  $m(z) = M^{-1} \cdot (\delta M_\eta - i\delta M_\xi)$  вектора колебаний намагниченности  $\delta M = (0, \delta M_\eta, \delta M_\xi)$ , принимает вид

$$\frac{d^2 m(z)}{dz^2} - zm(z) = f, \quad (2)$$

где безразмерное возбуждающее поле  $f = -\lambda^2 h / \alpha 4\pi M_s$ . Уравнение (2) без правой части имеет в качестве фундаментальных решений функции Эйри  $u(z)$  и  $v(z)$  [7]. Точка поворота  $z = 0$  лежит внутри феррита при  $\xi = \xi_0 \equiv (\gamma H_0 - \omega) / \gamma |dH_0/d\xi| > 0$ . Для неоднородных пленок ЖИГ при типичных градиентах  $|dH_0/d\xi| \sim (2-50) \text{ Oe}/\mu\text{m}$  и  $2\Delta H \sim 0.5 \text{ Oe}$  получаются следующие оценки характерных параметров:  $\lambda \sim (0.6-0.2)\mu\text{m}$  и  $\kappa \equiv \lambda^{-1} \Delta H / |dH_0/d\xi| \sim (0.2-0.02) \ll 1$ .

Пусть для простоты точка поворота находится не слишком близко к границе пленки  $\xi = 0$ , так что  $\xi_0 > \lambda$ . Тогда степень закрепления спинов на граничной поверхности  $\xi = 0$  не играет роли. При  $\kappa \ll 1$  решение уравнения (2) для волны, убегающей в глубь пленки (в направлении возрастания  $\xi$ ), имеет вид

$$m(z) = -f [u(z) + iv(z)] \int_{-\infty}^{\infty} dz' v(z') + \\ + f \int_{-\infty}^{\text{Re}(z)} dz' [u(z)v(z') - v(z)u(z')]. \quad (3)$$

Перейдем к обсуждению полученного решения (3). Рассмотрим его вдали от точки поворота при  $\text{Re}(z) < -1$  (или  $\xi - \xi_0 > \lambda$ ). При этом второе слагаемое в правой части (3) асимптотически стремится к  $f/(-z)$ . По сравнению с этой величиной первое слагаемое в (3) велико, поскольку имеет порядок  $f/\sqrt[4]{-z}$ . Это первое основное слагаемое по-существу представляет собой решение уравнения (2) без правой части и описывает излучаемые ОСВ. Следовательно, несмотря на то что поле  $h$  однородно в пределах пленки, в слое  $\text{Re}(z) < -1$  оно практически не оказывает влияния на колебания  $m(z)$ . Указанный слой можно рассматривать как зону сформировавшегося излучения (см. рисунок, *b*).

Рассмотрим теперь решение (3) в слое вблизи точки поворота  $|z| < 1$  [или  $|\xi - \xi_0| < \lambda$ ]. В этом слое первое и второе слагаемые в правой части дают сравнимые вклады, причем максимум амплитуды колебаний достигается вблизи  $\text{Re}(z) = 0$  (или  $\xi = \xi_0$ , см. рисунок, б), т. е. там, где выполняется условие однородного резонанса  $\omega = \gamma H_0(\xi_0)$ . Второе слагаемое представляет собой нераспространяющуюся часть колебаний  $m(z)$  — “квазиоднородную” прецессию намагниченности, возбуждаемую полем  $h$ . Как видно, параметр  $\lambda$  есть не что иное, как расстояние, на которое мы можем отступить от точки поворота  $z = 0$ , не выходя при этом за пределы резонансного слоя. Такое расстояние определяется двумя факторами: градиентом поля  $|dH_0/d\xi|$  и шириной резонансной линии. При слабой диссипации основной вклад в ширину линии дает вынос энергии из резонансного слоя за счет излучения ОСВ. Такой механизм излучения и учитывается параметром  $\lambda$ . Максимальная амплитуда колебаний, достигаемая вблизи  $z = 0$ , оценивается из (3) как  $\max |\delta M_\eta - \delta M_\xi| \sim \lambda^2 |h| / 4\pi\alpha$ . Поскольку отношение  $(\lambda^2/\alpha) \sim 10^2 - 10 \gg 1$ , то амплитуда колебаний намагниченности получается очень большой и ограничена, как и сам параметр  $\lambda$ , выносом энергии из резонансного слоя за счет излучения ОСВ в прилегающую часть пленки. Таким образом, возбуждение ОСВ можно представлять себе как происходящее в два этапа. На первом этапе поле  $h$  резонансно раскачивает колебания магнитного момента в слое вблизи точки поворота. На втором этапе колебания в резонансно-возбужденном слое сами излучают ОСВ. Поскольку амплитуда колебаний при резонансе велика, то можно ожидать, что и излучаемый поток мощности ОСВ окажется большим.

Исходя из общего определения потока  $\Pi$  ([8], с. 48) и подставляя в него  $m(z)$  из (3), получим значение средней по времени  $\xi$ -компоненты потока в зоне излучения

$$\langle \Pi_\xi \rangle = \frac{\pi\omega M_s |h_-|^2}{|dH_0/d\xi|} \exp\left(\frac{2\Delta H \sqrt{\xi - \xi_0}}{\sqrt{4\pi M_s \alpha |dH_0/d\xi|}}\right), \quad (4)$$

где амплитуда циркулярной составляющей поля  $|h_-| = |h/2|$ .

Первый сомножитель в (4) совпадает с полученным из теории [4,5] (см. также [6], с. 422). Второй сомножитель описывает диссипативное затухание возбужденных ОСВ в неоднородной среде. Такое затухание при  $\kappa \ll 1$  есть основной диссипативный эффект — он становится существенным при  $(\xi - \xi_0) > \lambda/4\kappa^2$ .

Взяв градиент  $dH_0/d\xi| = 50 \text{ Oe}/\mu\text{m}$  и числовые значения параметров структуры из работы [3], получим  $\langle P_\xi \rangle = 2 \cdot 10^{-4} \omega |\mathbf{h}|^2 \text{Oe}^2 \cdot \text{cm/s}$ . Такое значение потока в  $2 \cdot 10^3$  раз больше, чем полученное в самой работе [3] для однородной пленки с закрепленными спинами на поверхности. Таким образом, рассмотренный механизм дает высокую эффективность возбуждения ОСВ, достаточную для объяснения экспериментов.

Работа выполнена при поддержке Российского фонда фундаментальных исследований (грант № 94-02-04928-а), а также Международного научного фонда и Российского правительства (грант MSZ300).

### Список литературы

- [1] Гуляев Ю.В., Зильберман П.Е., Санников Е.С., Титонов В.В., Толкачев А.В. // Письма в ЖТФ. 1988. Т. 14. В. 10. С. 884-888.
- [2] Зильберман П.Е., Темиряев А.Г., Тихомирова М.П. // Письма в ЖТФ. 1992. Т. 18. В. 14. С. 79-83.
- [3] Зильберман П.Е., Шишкин В.Г. // РЭ. 1990. Т. 35. В. 1. С. 204-206.
- [4] Schlömann E. // J. Appl. Phys. 1964. V. 35. N 1. P. 159-166.
- [5] Schlömann E., Joseph R.I. // J. Appl. Phys. 1964. V. 35.
- [6] Гуревич А.Г. // Магнитный резонанс в ферритах и антиферромагнетиках. М.: Наука, 1973. 591 с.
- [7] Фок В.А. Проблемы дифракции и распространения электромагнитных волн. М.: Сов. радио, 1970. 517 с.
- [8] Ахиезер А.И., Барьяhtar В.Г., Пелетминский С.В. Спиновые волны. М.: Наука, 1967. 368 с.

Поступило в Редакцию  
20 июля 1995 г.